

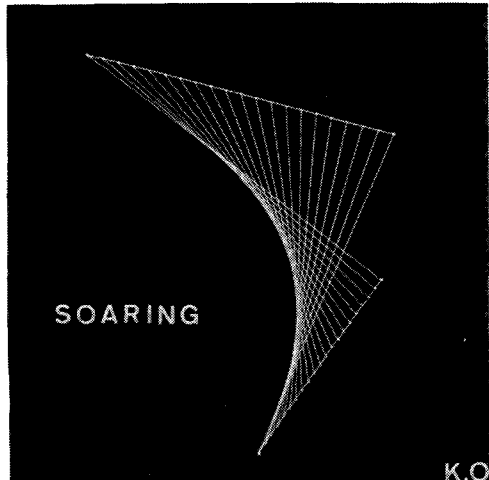
## Graphic Display の有効性と三つの応用例

東京農工大学 農学部 鬼塚宏太郎

A computer display enables us to examine the structure of a man-made mathematical world simulated entirely within an electronic mechanism.

I think of a computer display a window on Alice's Wonderland in which a programmer can depict either objects that obey well-known natural laws or purely imaginary objects that follow laws he has written into his program.

by Ivan E. Sutherland  
(1970)



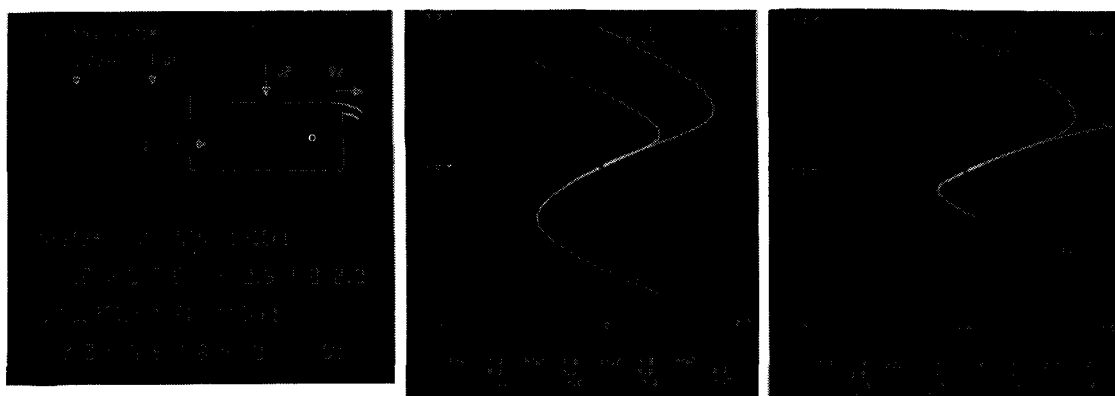
## Computer Art ? (1973)

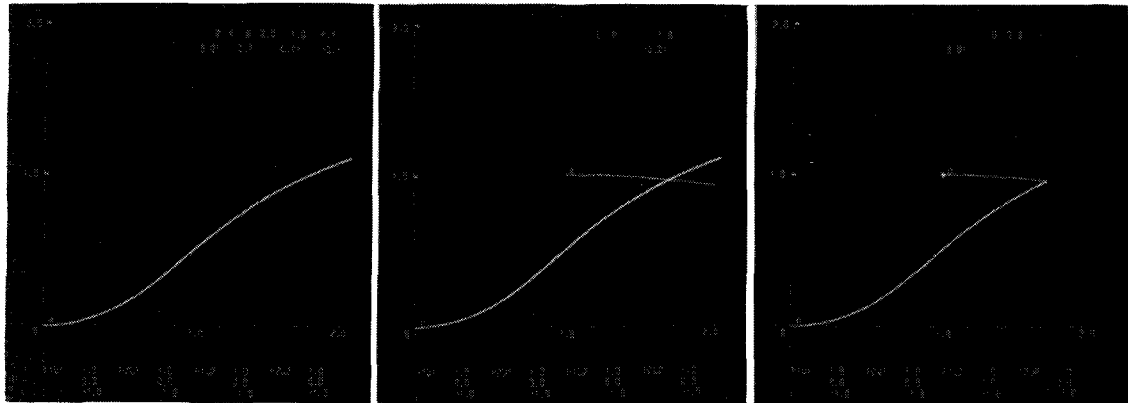
## 1. .....はじめに.....

私は上にかけた言葉が大変に気に入りました。その当時の私は、やっと、FORTRAN言語で一寸したフロッグミングが出来た様になりましたところでした。X-Yフロッターを用いて、計算結果をグラフに描いてみた事もありました。計算結果が0.1ミリの精度で図化されるのにあくびました。当然の成行きとして、今度は、あのグラウンド管の前に腰かけ、ライトペンを手にして手品師の様にコンピューターをあやかり、11313は图形を出しました!!消して、やってみてはくつろぎのです。こうして、私のGraphic Displayとの付き合いが始まりました。3.4年の間は、すっかり夢中になりました。しかし、実際には、コンピューターを自由自在にあやつるどころではなかったのです。以下は私の失敗の記録です。

## 2. 非線形力学系の最短時間制御 (2次槽系)… 例-1<sup>(1)</sup>

この「プロセスラム」では、2次の非線形力学系の例として、 $A_1$ に示す2次横筋を取扱うものである。この





C 1 … 原点からの最大流入量での軌道  
C 2 … 定常状態から逆時間で流入量ゼロの軌道  
C 3 … 0からもたらされた最大時間軌道

$X_1$  は左側の水槽の水位、 $X_2$  は右側の水槽の水位に対応する。

以下の正常状態は、 $X_1 = 1$ 、 $X_2 = 1$  である。A の画面で、ライトペンによって任意のシステム定数を 2 個選び出し、 $B_1$ 、 $B_2$  の様に、系の状態平面上の運動を調べ、以下の力学的、統計的特性を理解する。それは、 $X_1$  を任意の初期状態から正常状態に最短時間で到達させた問題を解決する事ができる。では、 $X_1$  は横軸、 $X_2$  は縦軸で示されています。

1) 左側の水槽への流入量と制御量とする問題では、ポンチヤーキングの最大原理から、流入量ゼロの場合の軌道と、流入量=最大可能流入量の場合の軌道の断片的合成によって、最適軌道が求められる。

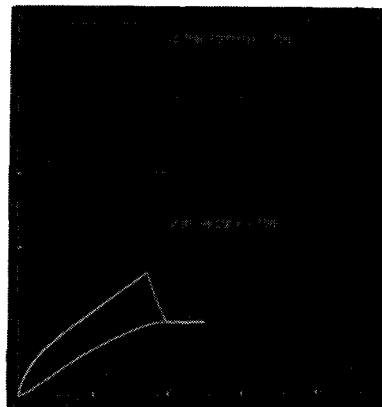
$C_1$ 、 $C_2$ 、 $C_3$ 、 $C_4$  は、 $X_1 = 0$ 、 $X_2 = 0$  から  $X_1 = 1$ 、 $X_2 = 1$  (正常状態) までの最短時間軌道と制御量の決定過程を示す。 $D_1$ 、 $D_2$ 、 $D_3$  は、要するに初期状態からの最適軌道の決定過程を示す。

2) 流入量は一定の状態で、2 水槽間のオリフィス角度を制御量とする場合は、やはり最大原理から、角度ゼロの軌道と、全開の軌道との合成によって最適軌道が求められる。この場合は  $E_3$  に示す様に、 $X_1$  が大きな値となる事がわかり、実際問題としてはあまり適当ではない。

(1) 鬼塚、農業土木学会大会講演要旨、昭 46、pp 9~10.

D 1

D 2

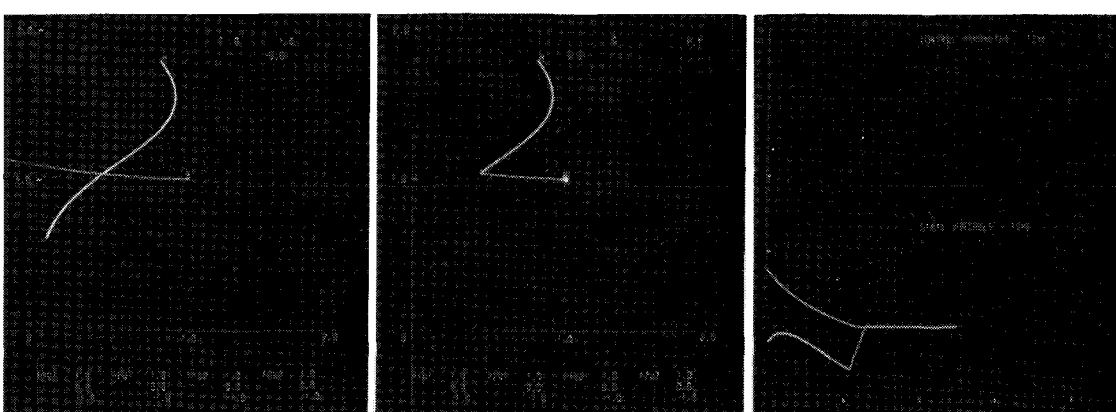


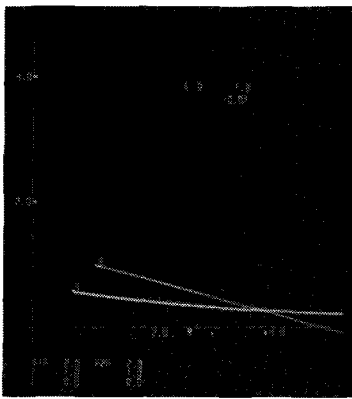
C 4 …  $X_1$ 、 $X_2$  と時間との関係

$$(1) \begin{cases} X_1 = C \left\{ K(1+U_1) - (1+K) + X_1^{1/2} + X_2^{3/2} \right\} \\ X_2 = f X_1^{1/2} - X_2^{3/2} \\ 1 \leq U_1(t) \leq 1 \\ 0 \leq f(t) \leq 2 \end{cases}$$

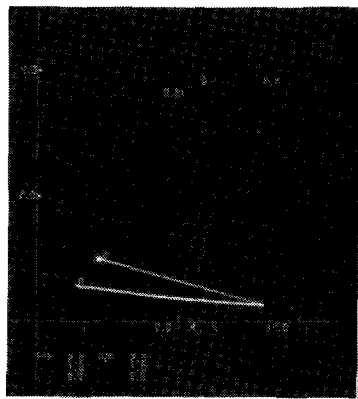
の条件があつてらしくある。

D 3

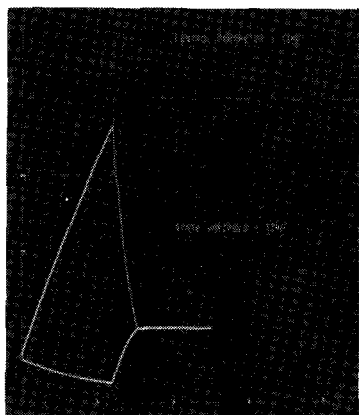




E 1 … オリイフイス角度を制御量とした場合



E 2 … 最短時間軌道



E 3 …  $x_1, x_2$  と時間との関係

このプログラムでは、流入量とオリイフイス角度を両方とも制御する問題を解決する予定であるが、複雑にまりあきて、多くの感覚が混乱してしまい、失敗に終つてしまつた。

### 3. 水理系のシステムオーテンシヤル関数の等高線表示 … 例-2<sup>(2)</sup>

2次非線形系の状態面をメッシュに分け、格子点の関数値を全て計算し、等高線に対応する格子点のみを表示する。

#### 2水槽系の状態方程式

$$\begin{aligned} A_1 \frac{dh_1}{dt} &= g_{01} - C_{12}(h_1 - h_2)^{\frac{1}{2}} \\ A_2 \frac{dh_2}{dt} &= C_{12}(h_1 - h_2)^{\frac{1}{2}} - C_{20}(h_2 - H_c)^{\frac{3}{2}} \end{aligned} \quad \left. \right\} \dots (1-1)$$

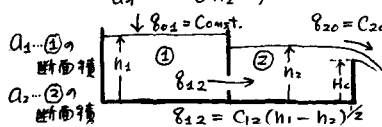
#### オーテンシヤル

$$P = -g_{01}h_1 + \frac{2}{3}C_{10}(h_1 - h_2)^{\frac{3}{2}} + \frac{2}{5}C_{20}(h_2 - H_c)^{\frac{5}{2}} \dots (1-2)$$

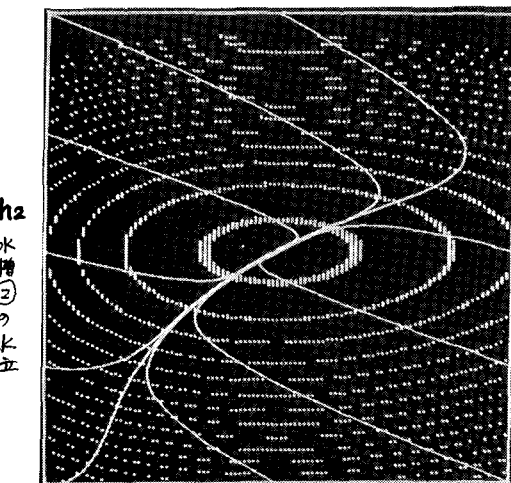
#### 標準形式\*

$$\begin{aligned} A_1 \frac{dh_1}{dt} &= -\frac{\partial P}{\partial h_1} \\ A_2 \frac{dh_2}{dt} &= -\frac{\partial P}{\partial h_2} \end{aligned} \quad \left. \right\} \dots (1-3)$$

\* 丁の正常状態  
は P の偏微分値  
は対応する(最小値)



F … 2水槽系のオーテンシヤルと丁の軌道



O  $h_1$  水槽①の水位  
(2) K.ONIZUKA Theor. Appl. Mech. Vol. 23, 1975 (Univ. Tokyo Press)

#### 水槽-管系の状態方程式

$$\begin{aligned} A_1 \frac{dh}{dt} &= g_0 - g \\ \frac{l}{A_2 g} \frac{dg}{dt} &= (h - H) - Kl1818 \end{aligned} \quad \left. \right\} \dots (2-1)$$

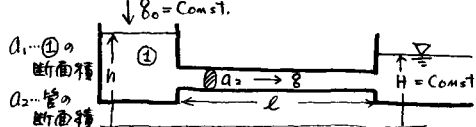
#### オーテンシヤル

$$P = -g_0 h + g(h - H) - \frac{1}{3}Kl1818^2 \dots (2-2)$$

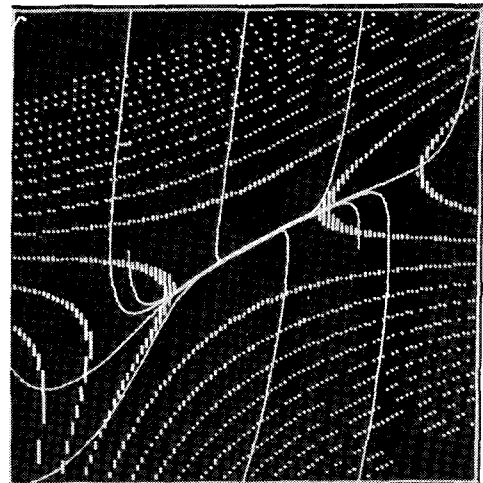
#### 標準形式\*

$$\begin{aligned} A_1 \frac{dh}{dt} &= -\frac{\partial P}{\partial h} \\ \frac{l}{A_2 g} \frac{dg}{dt} &= +\frac{\partial P}{\partial g} \end{aligned} \quad \left. \right\} \dots (2-3)$$

\* 丁の正常状態は  
Pの偏微分値に  
対応する(最小値)



G … 水槽-管系のオーテンシヤルと丁の軌道



O  $h$  水槽水位

#### 4. 大規模ランダム抵抗網のコンタクタンス の計算におけるモニタリング…例1-3<sup>(3)</sup>

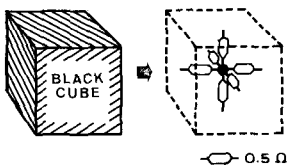
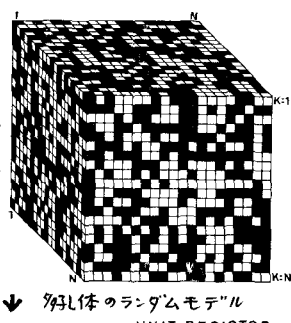
このプログラムは、右図の様に、多孔体のランダムモデルに対するランダム抵抗網のコンタクタンス計算を行うためモードである。50×50×50の3次元抵抗網であり、節点をランダムに取除いた不規則抵抗網を“あそり”、↓ 多孔体のランダムモデル UNIT RESISTOR キルヒホフの節点則を用いて、一種のSOR法で収束解を求める。

H<sub>1</sub>, H<sub>2</sub>, H<sub>3</sub>は要素破壊に対するランダム抵抗網が、CRTに表示して4エックスルームモードである。

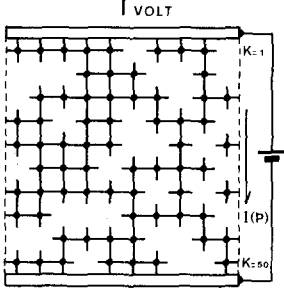
下図は計算の結果状態を4エックスルーム画面で、SOR法の加速係数を、小1によって適当に変化させた事が出来る。縦軸は各層間の全電流値、横軸は層番号

を示す。ジグザグの折線が水平移動 $I=72.418$ 。収束完了。

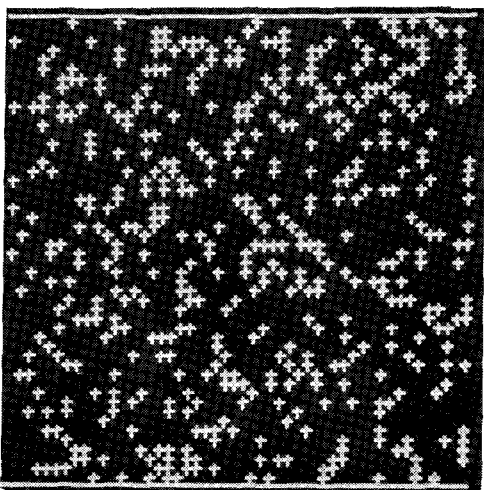
(3) K.ONIZUKA, Jour. Phys. Soc. Japan Vol. 39, No. 2, 1975



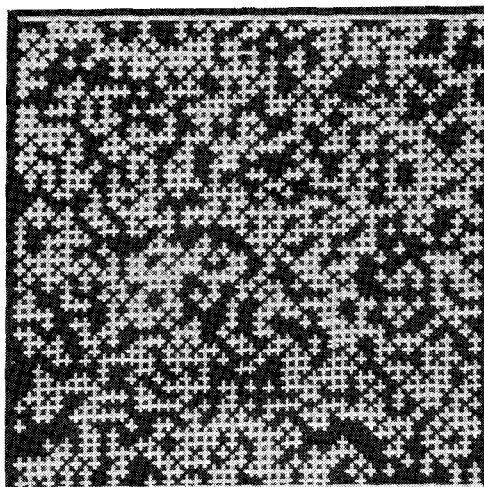
↓ 黒の立方体を単位抵抗で置換



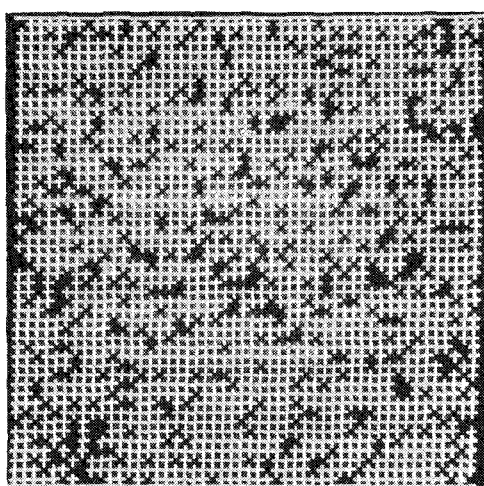
生成された抵抗網の2次元断面  
通過電流  $I(P)$  を計算すれば。  
下全体のコダクタンスが求めら



H 1  $P=0.2$  ( $P$ は+の存在確率)

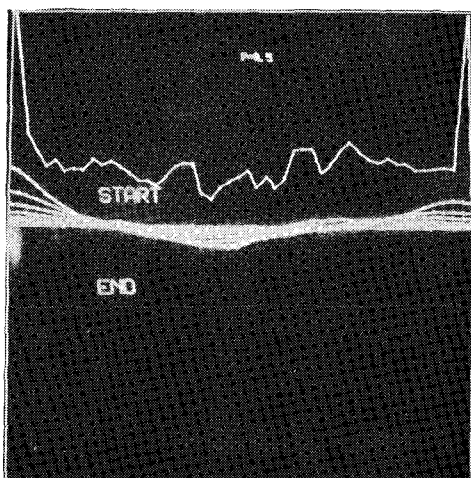


H 2  $P=0.5$



H 3  $P=0.8$

INTER-LAYER CURRENT



1

LAYER NUMBER

51